

Взаимодействие электронов с полярными оптическими фононами в полупроводниковых сверхрешетках

© В.Г. Тютюрев

Томский государственный педагогический университет,
634041 Томск, Россия

E-mail: vgt@phys.tsu.ru

(Поступила в Редакцию 16 апреля 2004 г.)

На основе микроскопической решеточно-динамической теории проведен численный расчет электрических потенциалов, создаваемых оптическими фононами в полупроводниковых сверхрешетках. Показано, что пространственное распределение амплитуд электрических потенциалов отличается от предсказываемого в популярной макроскопической модели диэлектрического континуума без дисперсии. Предложена модифицированная макроскопическая континуальная теория, которая учитывает дисперсию короткодействующих межатомных сил и позволяет получить аналитические выражения для потенциалов электрон-фононного взаимодействия.

Работа частично поддержана грантами президента РФ № НШ-1743.2003.2 и INTAS N 01-0458.

1. Введение

Полярные оптические колебания в полупроводниковых наноструктурах являются источником сильного электрон-фононного взаимодействия и поэтому важны для исследования процессов переноса носителей. Смещения ионов, участвующих в оптических колебаниях, создают в кристалле электрическую поляризацию. Возникающая при этом электрическая индукция в отсутствие свободных зарядов удовлетворяет условию $\nabla(\epsilon\mathbf{E}) = 0$. В неоднородной среде, каковой является наноструктура, диэлектрическая проницаемость ϵ зависит от пространственной координаты; решения для электрических полей \mathbf{E} и связанных с ними потенциалов получаются отличающимися от решений в объемном материале, что и является проявлением размерного квантования фононов. В простейшем варианте теории — так называемой модели диэлектрического континуума [1] — в пределах отдельного слоя гетероструктуры частотная зависимость диэлектрической проницаемости $\epsilon(\omega)$ принимается такой же, как в соответствующем объемном материале, где она определяется в свою очередь его фононным спектром. Потенциалы, полученные в каждом отдельном случае, сшиваются друг с другом из условия непрерывности на гетерограницах. Полученные решения разбиваются на два типа. Потенциалы первого типа связаны с объемно-подобными фононами, запертыми в пределах слоя. Они также заперты в пределах этого активного слоя и обращаются в нуль на гетерограницах. Потенциалы второго типа, локализованные вблизи гетерограниц, ассоциируются с колебаниями интерфейса.

Принципиальная трудность, возникающая в модели диэлектрического континуума [1], состоит в несовместимости граничных условий для электрической и механической компонент огибающей функции фононного поля на межслоевых границах. Амплитуды механических смещений для запертых объемно-подобных фононов оказы-

ваются в этой модели разрывными. Электростатический вклад составляет только $\sim 10\%$ от энергии фонона, что в определенной степени ставит выводы модели диэлектрического континуума под сомнение [2]. С другой стороны, требование непрерывности механической компоненты приводит к разрывности уже потенциалов, а также к отсутствию интерфейсных потенциалов [3]. Попытки разрешения этой проблемы путем учета дисперсии короткодействующих межатомных сил в рамках модели диэлектрического континуума [3,4] приводят к неоправданному усложнению теории. В связи с этим в настоящее время большинство работ по исследованию процессов переноса выполнено на основе модели диэлектрического континуума [5] без учета дисперсии короткодействующих межатомных сил.

2. Микроскопический расчет потенциалов электрон-фононного взаимодействия в сверхрешетке $\text{AlAs}_n\text{GaAs}_m$ [001]

В [6] нами показано, что электрические поля фононов могут быть непосредственно вычислены на основании микроскопической теории.

Спектр фононов в сверхрешетке (рис. 1) рассчитывался нами в феноменологической модели зарядов на связи [7]. Структура $\text{AlAs}_n\text{GaAs}_m$ [001] преобразуется по группе симметрии D_{2d}^5 , если $n + m = 2p$, и по группе D_{2d}^9 , если $n + m = 2p + 1$. Классификация длинноволновых колебаний по симметрии зависит от общего числа монослоев в элементарной ячейке. Разложение колебательного представления в точке Γ может содержать одномерные полностью симметричные представления Γ_1 , одномерные представления Γ_3 , преобразующиеся как z -компонента вектора, и двумерные представления Γ_5 , преобразующиеся как x, y -компоненты. Число различных неприводимых представлений определяется

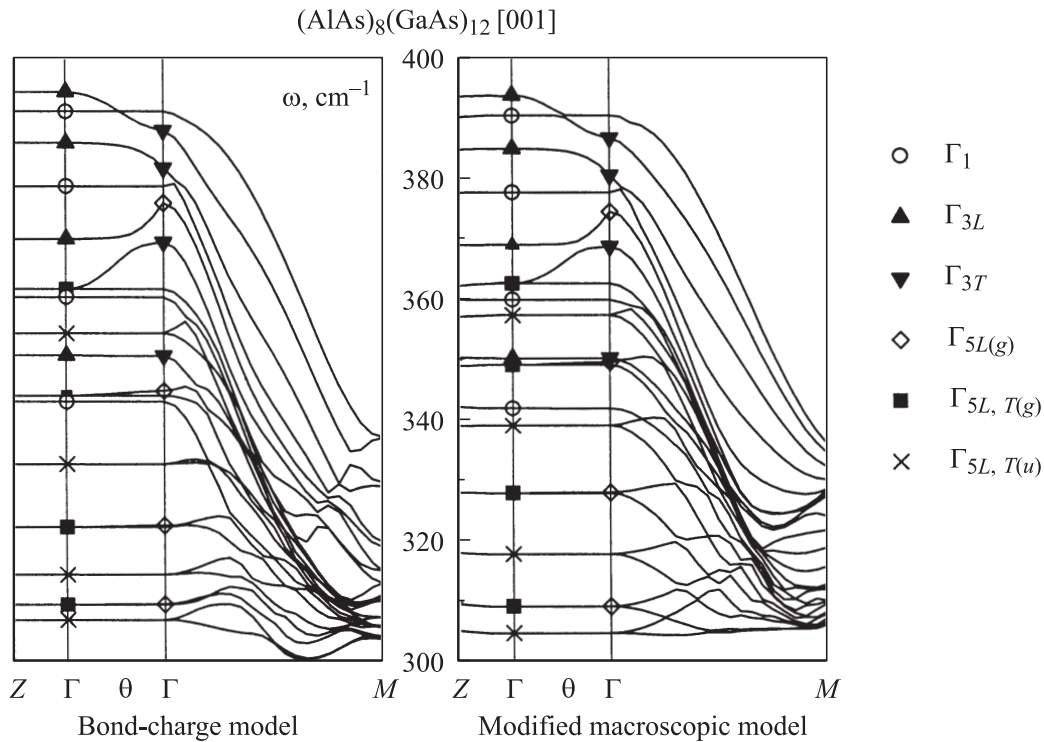


Рис. 1. Частоты AlAs-подобных фононов в сверхрешетке $(AlAs)_8(GaAs)_{12} [001]$ в двух симметричных направлениях $Z(0, 0, \pi/D)$, $M = (\pi/a, 0, 0)$. $D = 10a$ — период сверхрешетки, a — постоянная решетки цинковой обманки. В центральной части (Γ – Γ) показаны зависимости частот длинноволновых фононов $\mathbf{q} \rightarrow 0$ от угла $0 \leq \theta \leq \pi/2$ между волновым вектором и направлением оси роста сверхрешетки z . Слева — микроскопическая модель зарядов на связи, справа — расчет в модифицированной континуальной теории с учетом дисперсии короткодействующих сил. Даны обозначения неприводимых представлений в центре зоны Бриллюэна.

полным числом монослоев в элементарной ячейке конкретной сверхрешетки.

Расчет показывает, что в структуре $AlAs_n GaAs_m [001]$ смещения ионов, соответствующие оптическим колебаниям, оказываются локализованными в пределах отдельных подслоев (субъячеек) $(AlAs)_n$ либо $(GaAs)_m$, а относящиеся к разным подслоям частоты фононов разнесены по энергиям. Число представлений, по которым преобразуются длинноволновые фононы в активной субъячейке, определяется числом N_c монослоев в ней. Если $N_c = 2m$, разложение для фононов, относящихся к этому слою, имеет вид $\Gamma = m(\Gamma_1 + \Gamma_3 + 2\Gamma_5)$. Если $N_c = 2m + 1$, разложение для фононов, относящихся к такому подслою, имеет вид $\Gamma = m\Gamma_1 + (m + 1)\Gamma_3 + (2m + 1)\Gamma_5$. Расчет [6] показывает, что величина $s^n = p_n M_n \mathbf{u}^n$ плавно изменяется с номером иона n и выступает в качестве огибающей функции для оптических колебаний. Здесь $p_n = z^n / Z^n$ — знак заряда иона, $Z^n = |z^n|$ — его величина, M_n — масса иона.

Огибающая оптических смещений ионов для фононов с симметрией Γ_1 имеет только компоненту, параллельную оси роста сверхрешетки z , и является нечетной функцией относительно центра активного подслоя. Для фононов Γ_3 огибающая смещений также содержит только z -компоненту, s^n — четная функция. Для двумерного представления Γ_5 смещения направлены в плоскости x, y ,

перпендикулярной оси роста. Их можно подразделить на два типа: $\Gamma_{5(g)}$ с четными s^n и $\Gamma_{5(u)}$, для которых смещения нечетные.

Частоты колебательных мод типа Γ_1 в длинноволновом пределе от направления вектора \mathbf{q} не зависят.

Фононы с симметрией Γ_1 независимо от направления волнового вектора создают потенциалы, амплитуды которых являются периодическими (с периодом сверхрешетки) функциями, четными относительно центра активного слоя ($AlAs_n$ на рис. 2). Полей макроскопического пространственного масштаба изменения они не создают.

Частоты колебательных мод типа Γ_3 в длинноволновом пределе обладают ярко выраженной зависимостью от направления волнового вектора, которая является аналогом продольно-поперечного (L – T) расщепления оптических мод в кубических материалах. Потенциалы, создаваемые фононами с симметрией Γ_3 , — нечетные функции относительно центра активного слоя (рис. 2). Они обладают существенной (неаналитической) зависимостью от направления волнового вектора. Распространяясь в направлении $\mathbf{q} \perp z$, эти фононы являются поперечными Γ_{3T} , они создают периодические потенциалы с периодом сверхрешетки (локальные поля).

Распространяясь в направлении $\mathbf{q} \parallel z$, фононы этой симметрии являются продольными Γ_{3L} . Наряду с локаль-

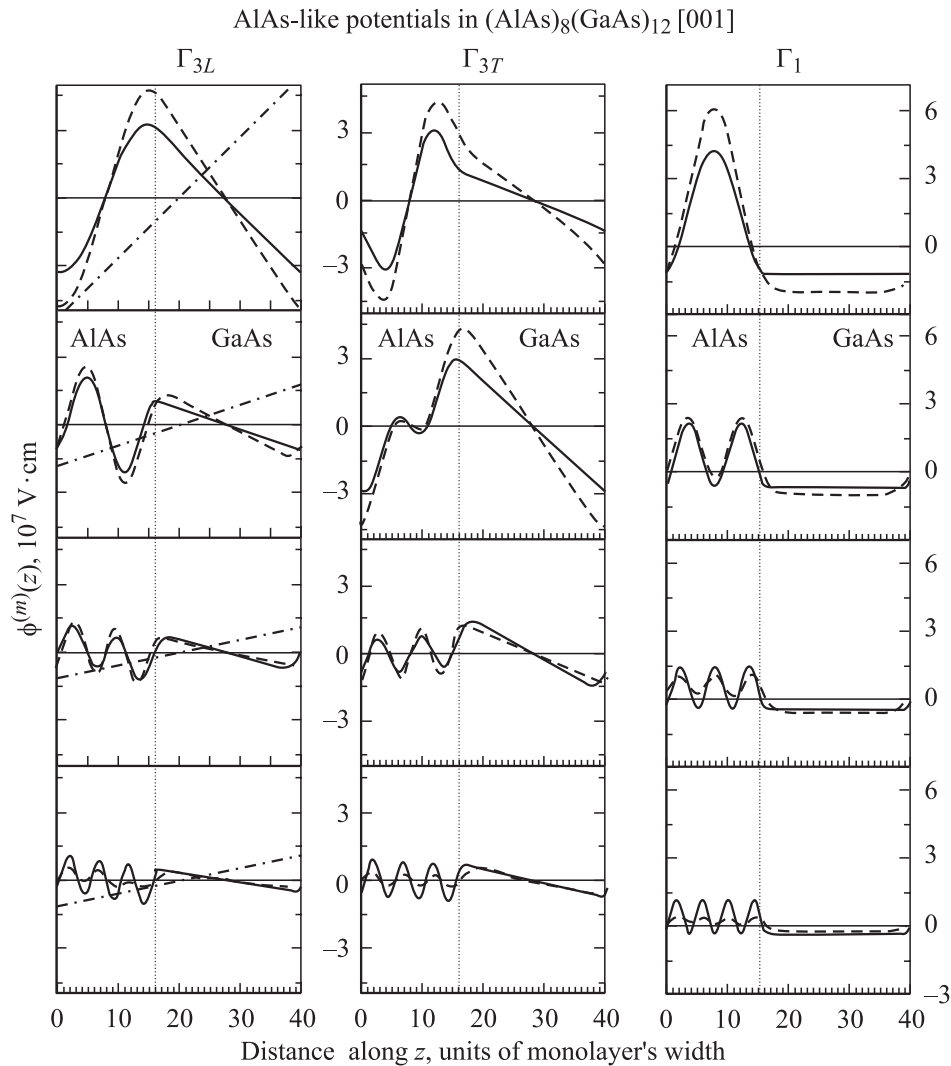


Рис. 2. Периодическая часть амплитуды электрических потенциалов, создаваемых длинноволновыми фононами. Штриховые линии — микроскопический расчет, сплошные — модифицированная континуальная теория. Для фононов Γ_{3L} , соответствующих распространению фонона в направлении $\mathbf{q} \parallel z$, показана также макроскопическая компонента (штрихпунктир).

ными полями они создают также вклад, имеющий макроскопический пространственный масштаб изменения. Макроскопическое электрическое поле $\mathbf{E}_{\text{макр}}$ направлено вдоль оси z .

В направлении $\mathbf{q} \parallel z$ все фононы Γ_5 являются поперечными, частоты двукратно вырождены, электрические поля такими фононами не создаются. Для длинноволновых фононов $\Gamma_{5(g)}$ с $\mathbf{q} \perp z$ имеет место L - T -расщепление $\Gamma_{5(g)} \rightarrow \Gamma_{5L(g)} + \Gamma_{5T(g)}$. Продольные фононы с частотой $\Gamma_{5L(g)}$ создают макроскопическое поле $\mathbf{E}_{\text{макр}}$ в плоскости xu , ориентированное вдоль вектора $\mathbf{q} \perp z$. В длинноволновом пределе потенциалы, созданные этими фононами, от z не зависят. Фононы типа $\Gamma_{5(u)}$ остаются вырожденными, они не создают электрических полей, так же как и $\Gamma_{5T(g)}$.

Среднее значение потенциалов, создаваемых длинноволновыми фононами Γ_{3L} , $\Gamma_{5L(g)}$, зависит от волнового

вектора фонона как q^{-1} ; для Γ_1 это константа, зависящая от частоты фонона.

Как видно из рис. 2, форма потенциалов длинноволновых фононов существенно отличается от полученной в рамках теории бездисперсионного континуума [1–3]. Это касается прежде всего потенциалов типа Γ_3 . В отличие от потенциалов теории [1–3] они принимают конечные значения на гетерогранице. Для фононов, смещения в которых локализованы в одном из слоев (AlAs на рис. 2), они создают значительные потенциалы также и в неактивном слое (GaAs на рис. 2), где для этих мод смещения ионов полностью отсутствуют. Потенциалы фононов типа Γ_1 локализованы в своем активном слое, однако и они имеют на гетерогранице ненулевые значения.

Поверхностные колебания в длинноволновом пределе не обнаруживаются, они проявляются только при конечных значениях волнового вектора фонона.

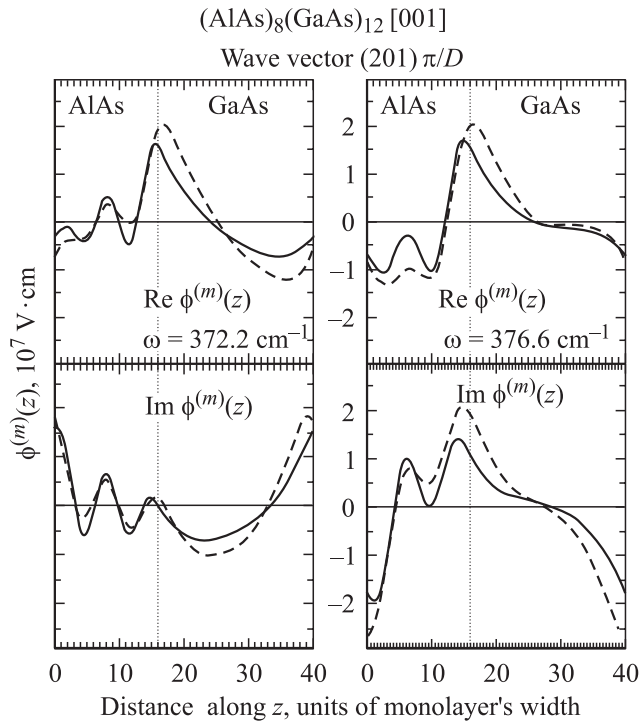


Рис. 3. Периодическая часть амплитуды электрических потенциалов двух коротковолновых AlAs-подобных фононов с $\mathbf{q} = (201)\pi/D$. Штриховые линии — макроскопический расчет, сплошные — модифицированная континуальная теория.

На рис. 3 приведены амплитуды потенциалов для двух коротковолновых AlAs-подобных фононов в той же сверхрешетке с волновым вектором $\mathbf{q} = (201)\pi/D$ (где D — период сверхрешетки) и частотами $\omega^{(3)}(\mathbf{q}) = 376.6 \text{ cm}^{-1}$ и $\omega^{(5)}(\mathbf{q}) = 372.2 \text{ cm}^{-1}$, порожденных длинноволновыми фононами Γ_3 и Γ_5 соответственно. Как видно из рисунка, при $q \neq 0$ интерфейсные колебания гибридизованы с объемными модами. С увеличением q амплитуды потенциалов уменьшаются и при $q \approx \pi/a$ (где a — постоянная решетки объемного материала) имеют значения, на порядок меньшие, чем в центре зоны.

Непосредственное применение результатов численного расчета для исследования процессов переноса непродуктивно, поскольку требует значительных вычислительных затрат. В то же время наш микроскопический расчет обнаруживает важные особенности потенциалов электрон-фононного взаимодействия, не находящие объяснения в упрощенных макроскопических теориях типа [1–3].

В следующем разделе предлагается иной макроскопический подход, объясняющий эти особенности, причем проблемы несовместимости граничных условий не возникает. Этот метод применен для расчета электрических потенциалов, создаваемых фононами с произвольной длиной волны в сверхрешетке типа $\text{AlAs}_n\text{GaAs}_m [001]$.

3. Электростатические потенциалы полярных колебаний в кристаллах с большой элементарной ячейкой: макроскопическая теория

Феноменологическое выражение для энергии колеблющейся кристаллической решетки в присутствии электрического поля запишем в виде [6]

$$W = \frac{1}{2} \sum_{mn'} \mathbf{u}^n \tilde{\Phi}_{mn'} \mathbf{u}^{n'} - \sum_n z^n \mathbf{u}^n \int \tilde{Q}_n(\mathbf{r}) \mathbf{E}(\mathbf{r}) d\mathbf{r} - \frac{1}{8\pi} \int \mathbf{E}(\mathbf{r}) \tilde{\epsilon}^\infty(\mathbf{r}, \mathbf{r}') \mathbf{E}(\mathbf{r}') d\mathbf{r} d\mathbf{r}'. \quad (1)$$

Здесь \mathbf{u}^n — смещение иона в узле n кристаллической решетки, z^n — его заряд, $\mathbf{E}(\mathbf{r})$ — электрическое поле в точке \mathbf{r} , $\tilde{\epsilon}_{\alpha\beta}^\infty(\mathbf{r}, \mathbf{r}')$ — высокочастотный диэлектрический тензор, $\tilde{\Phi}_{\alpha n, \alpha' n'}$ — силовая матрица короткодействующих сил, α, β — декартовы индексы; величина $z^n \sum_\alpha u_\alpha^n Q_{\alpha\beta}^n(\mathbf{r})$ определяет β -компоненту плотности дипольного момента, создаваемого при смещении n -го иона. Выше указывалось, что в структурах с большим числом частиц в элементарной ячейке величина $s^n = p_n M_n \mathbf{u}^n$ плавно изменяется с номером n и выступает в качестве огибающей функции для оптических колебаний.

Поскольку смещения ионов s^n являются функциями дискретной переменной \mathbf{r}_n , а для полей предполагается континуальная зависимость от \mathbf{r} , возникает проблема перехода к континуальному пределу [8], которая может быть решена следующим образом. Определим некоторый набор функций $\{f_i(\mathbf{r})\}$ таким образом, чтобы они были локализованы в элементарной ячейке, причем выполнялось условие ортонормированности на дискретном наборе точек в виде

$$\Omega_a \sum_{n=0}^{n_0-1} f_i^*(\mathbf{r}_n) f_j(\mathbf{r}_n) = \delta_{ij}, \quad \Omega_a \sum_i f_i^*(\mathbf{r}_n) f_i(\mathbf{r}_{n'}) = \delta_{nn'}, \quad (2)$$

где \mathbf{r}_n — равновесное положение иона, n_0 — число ионов в элементарной ячейке, Ω_a — объем, приходящийся на один атом, $i, j = 1, \dots, n_0$. Переход к континуальному пределу для поля фононной поляризации будем понимать как стремление числа атомов n_0 в элементарной ячейке к бесконечности при сохранении объема элементарной ячейки $V_c = \text{const}$, так что формально объем, приходящийся на атом, $\Omega_a \rightarrow 0$. Считаем \mathbf{r}_n изменяющимся квазинепрерывным образом и заменим суммирование интегрированием по правилу $\sum_{n=0}^{n_0-1} \rightarrow \Omega_a^{-1} \int_{V_c} d\mathbf{r}$. Предполагается, что функции $\{f_i(\mathbf{r})\}$ можно выбрать таким образом, чтобы в этом континуальном пределе выполнялось

$$\int_{V_c} f_i^*(\mathbf{r}) f_j(\mathbf{r}) d\mathbf{r} = \delta_{ij}, \quad \sum_i f_i^*(\mathbf{r}) f_i(\mathbf{r}') = \delta(\mathbf{r} - \mathbf{r}'). \quad (3)$$

Удобно ввести функцию типа Ванье („стандартные колебательные моды“)

$$F_{i\mathbf{q}}(\mathbf{r}) = N_0^{-1/2} \sum_{\mathbf{L}} \exp(i\mathbf{q}\mathbf{L}) f_i(\mathbf{r} - \mathbf{L}). \quad (4)$$

Вектор \mathbf{q} изменяется в первой зоне Бриллюэна; \mathbf{L} — вектор прямой решетки, N_0 — число элементарных ячеек в кристалле. Атомные смещения на основании (2) представим в виде разложения

$$u_{\alpha}^n = \sqrt{\Omega_a} p_n \sum_{ii'} F_{i\mathbf{q}}(\mathbf{r}_n) \tau_{ii'}^{-1}(\mathbf{q}) S_{ai'}(\mathbf{q}) / M_n. \quad (5)$$

Здесь

$$S_{ai}(\mathbf{q}) = \sum_{i'n} \mu_{ii'}^{-1}(\mathbf{q}) F_{i'\mathbf{q}}^*(\mathbf{r}_n) s_{\alpha}^n. \quad (6)$$

Матрица $\tau_{ii'}(\mathbf{q})$ связана с положительно определенной массовой матрицей

$$\mu_{ii'}^{-1}(\mathbf{q}) = \Omega_a \sum_n F_{i\mathbf{q}}^*(\mathbf{r}_n) M_n^{-1} F_{i'\mathbf{q}}(\mathbf{r}_n) \quad (7)$$

соотношением $\tilde{\mu}^{-1}(\mathbf{q}) = \tilde{\tau}(\mathbf{q}) \tilde{\tau}^+(\mathbf{q})$.

Производная $-\partial W / \partial u_{\alpha}^n$ определяет α -компоненту силы, действующей на ион n ; электрическую индукцию в точке \mathbf{r} определим как вариационную производную $\mathbf{D}(\mathbf{r}t) = -4\pi\delta W / \delta \mathbf{E}(\mathbf{r}t)$. Будем предполагать гармоническую зависимость $\exp(i\omega t)$ атомных смещений и полей по времени с частотой ω . Электрическое поле и индукцию представляем в виде разложения по (4) как по базису от непрерывной переменной. Тогда условие $\nabla \mathbf{D} = 0$ связывает коэффициенты разложения смещений и полей.

Классические уравнения движения для ионных смещений затем приводятся к виду

$$\sum_{\beta j} (\Theta_{ai,\beta j}(\mathbf{q}) + W_{ai,\beta j}(\mathbf{q})) S_{\beta j}^{(m)}(\mathbf{q}) = \omega_{(m)}^2(\mathbf{q}) S_{ai}^{(m)}(\mathbf{q}). \quad (8)$$

Матрица

$$\Theta_{ai,\alpha' i'}(\mathbf{q}) = \Omega_a \sum_{jj'} \tau_{ij}(\mathbf{q}) \times \sum_{nn'} F_{j\mathbf{q}}^*(\mathbf{r}_n) p_n \Phi_{\alpha\alpha'}^{nn'} p_{n'} F_{j'\mathbf{q}}(\mathbf{r}_{n'}) \tau_{j'i'}^+(\mathbf{q}) \quad (9)$$

обусловлена вкладом короткодействующих сил.

Вклад дальнедействующих сил на основании (3) записывается как

$$\tilde{W}(\mathbf{q}) = 4\pi \tilde{\xi}(\mathbf{q}) \tilde{V}(\mathbf{q}) (\tilde{\mathbf{I}} + \tilde{\kappa}(\mathbf{q}) \tilde{V}(\mathbf{q}))^{-1} \tilde{\xi}^+(\mathbf{q}). \quad (10)$$

Здесь

$$V_{\alpha j,\alpha' j'}(\mathbf{q}) = \frac{1}{4\pi} \int \frac{F_{\alpha j\mathbf{q}}^*(\mathbf{r}) F_{\alpha' j'\mathbf{q}}(\mathbf{r}')}{|\mathbf{r} - \mathbf{r}'|} d\mathbf{r} d\mathbf{r}', \quad (11)$$

$$\xi_{\alpha j,\alpha' i'}(\mathbf{q}) = \sqrt{\Omega_a} \sum_{nj} \tau_{ij}(\mathbf{q}) F_{j\mathbf{q}}^*(\mathbf{r}_n) p_n z^n \int Q_{\alpha\alpha'}^n(\mathbf{r}) F_{i'\mathbf{q}}(\mathbf{r}) d\mathbf{r}. \quad (12)$$

Матрица $\tilde{\kappa}(\mathbf{q})$ описывает высокочастотную поляризацию

$$\kappa_{\alpha j,\alpha' j'}(\mathbf{q}) = \int F_{j\mathbf{q}}^*(\mathbf{r}) \varepsilon_{\alpha\alpha'}^{\infty}(\mathbf{r}, \mathbf{r}') F_{j'\mathbf{q}}(\mathbf{r}') d\mathbf{r} d\mathbf{r}' - \delta_{\alpha\alpha'} \delta_{jj'}. \quad (13)$$

Входящие в (11) величины $F_{\alpha h\mathbf{q}}(\mathbf{r})$ определяются как $F_{\alpha i\mathbf{q}}(\mathbf{r}) = \partial F_{i\mathbf{q}}(\mathbf{r}) / \partial r_{\alpha}$. Уравнение (8) представляет собой задачу на собственные значения для нахождения частот колебаний решетки $\omega_{(m)}(\mathbf{q})$.

Для интересующих нас продольных полей в пребрежении эффектами запаздывания $\mathbf{E}(\mathbf{r}t) = -\nabla \phi(\mathbf{r}t)$ потенциал равен

$$\phi(\mathbf{r}t) = \frac{1}{4\pi} \int \frac{\nabla \mathbf{E}(\mathbf{r}'t)}{|\mathbf{r} - \mathbf{r}'|} d\mathbf{r}'. \quad (14)$$

После проведения стандартной процедуры квантования для атомных смещений (5) получаем для созданных ими потенциалов (14)

$$\tilde{\phi}(\mathbf{r}t) = N_0^{-1/2} \sum_{\mathbf{q}^m} \phi_{\mathbf{q}}^{(m)}(\mathbf{r}) (\tilde{a}_{m\mathbf{q}}^+(t) + \tilde{a}_{m\mathbf{q}}(t)), \quad (15)$$

$$\phi_{\mathbf{q}}^{(m)}(\mathbf{r}) = \sqrt{\frac{\hbar}{2n_0\omega_{(m)}(\mathbf{q})}} \sum_{\alpha i} \phi_{\alpha i}(\mathbf{r}|\mathbf{q}) S_{\alpha i}^{(m)}(\mathbf{q}). \quad (16)$$

Здесь $\tilde{a}_{m\mathbf{q}}^+(t)$, $\tilde{a}_{m\mathbf{q}}(t)$ — операторы рождения и уничтожения фононов, $\mathbf{S}^{(m)}(\mathbf{q})$ — собственные векторы (8), относящиеся к $\omega_{(m)}(\mathbf{q})$. Выражение (16) представляет собой разложение потенциала, созданного фононом с частотой $\omega_{(m)}(\mathbf{q})$, по некоторым „стандартным“ потенциалам $\phi_{\alpha i}(\mathbf{r}|\mathbf{q})$. Эти потенциалы, созданные „стандартными модами“ (смещения атомов направлены по оси α и их величины заданы функциями $F_{i\mathbf{q}}(\mathbf{r}_n)$), определяются выражением

$$\phi_{\alpha i}(\mathbf{r}|\mathbf{q}) = \sum_{\beta\beta' j j'} \int_V \frac{F_{\beta' j'\mathbf{q}}(\mathbf{r}')}{|\mathbf{r} - \mathbf{r}'|} d\mathbf{r}' \times (\tilde{\mathbf{I}} + \tilde{\kappa}(\mathbf{q}) \tilde{V}(\mathbf{q}))_{\beta' j', \beta j}^{-1} \xi_{\beta j,\alpha i}^*(\mathbf{q}). \quad (17)$$

4. Полярные колебания в полупроводниковых бинарных сверхструктурах

Будем предполагать, что элементарная ячейка сверхструктуры построена из частей (субъячеек), состоящих из различных материалов, которые будем нумеровать индексом c . Для бинарных материалов субъячейки содержат соответственно по $2N_c$ атомов, так что $n_0 = 2 \sum_c N_c$.

В том случае, когда частоты $\bar{\omega}_1$, $\bar{\omega}_2$ длинноволновых поперечных оптических фононов в объемных материалах существенно различаются, как это имеет место, например, для GaAs и AlAs, оптические колебания в отдельных субъячейках сверхрешетки можно рассматривать независимо, что подтверждается и численным

расчетом. Критерий применимости этого приближения $4\pi Z_c^2 (\varepsilon^\infty \Omega_a \mu_c |\bar{\omega}_1^2 - \bar{\omega}_2^2|)^{-1} \ll 1$. Здесь μ_c, Z_c — соответственно приведенная масса и величина заряда иона в субъединице номера c .

В этом случае удобно выбрать функции $f_i(\mathbf{r})$ таким образом, чтобы набор (3) представлял собой объединение базисов $\sum_{\infty c} \{f_{\lambda c}(\mathbf{r})\}$, при которых функции $f_{\lambda c}(\mathbf{r})$ отличны от нуля только в „своей“ субъединице номера c .

Модель $\tau_{c\lambda, c\lambda'}(\mathbf{q}) = \mu_c^{-1/2} \delta_{\lambda\lambda'}$, $\xi_{ac\lambda, a'c\lambda'}(\mathbf{q}) = (\Omega_a \mu_c)^{-1/2} Z_c \delta_{\lambda\lambda'} \delta_{aa'}$, $\varepsilon_{\alpha\beta}^\infty(\mathbf{r}, \mathbf{r}') = \varepsilon^\infty \delta_{\alpha\beta} \delta(\mathbf{r} - \mathbf{r}')$ соответствует приближению неполяризуемых ионов в сверхструктуре из материалов типа цинковой обманки с близкими значениями диэлектрической константы ε^∞ , например GaAs/AlAs. В этой модели

$$W_{ac\lambda, a'c\lambda'}(\mathbf{q}) = \frac{4\pi Z_c^2}{\varepsilon^\infty \Omega_a \mu_c} V_{ac\lambda, a'c\lambda'}(\mathbf{q}). \quad (18)$$

5. Планарная геометрия

Сверхрешетка в континуальном приближении представляет собой периодическое повторение в направлении оси z перпендикулярного ей слоя $0 < z \leq D$ толщиной D , состоящего из двух слоев (субъединиц), изготовленных из бинарных материалов $c = 1$ ($0 < z \leq d_1$) и $c = 2$ ($d_1 < z \leq D$). Базис (2) удобно выбрать в виде $f_{c\lambda}(\mathbf{r}) = S^{-1/2} \exp(i\mathbf{K}\rho) \psi_{cn}(z)$, где \mathbf{K} и ρ направлены в плоскости слоя, т.е. $\mathbf{K}, \rho \perp z$; S — площадь слоя в плоскости, перпендикулярной оси z . Соответственно индекс $\lambda \equiv (n\mathbf{K})$ становится сложным. Зона Бриллюэна является одномерной, поэтому волновой вектор представляется в виде $\mathbf{q} = (\mathbf{K}k)$, его z -компонента k изменяется в пределах $-\pi/D \leq k < \pi/D$.

Далее используем приближение, в котором колебания в отдельных слоях независимы. Для определения рассматривается слой $c = 1$ ($0 < z \leq d_1$). Рассматривая другой слой — $c = 2$, достаточно соответствующим образом сместить начало координат $z_c = z - d_1$ и заменить $d_1 \rightarrow d_2 = D - d_1$. Поэтому все рассуждения не зависят от номера субъединицы и в последующих формулах там, где это не может вызвать недоразумения, индекс слоя y, z_c, d_c опущен.

В „активной“ субъединице $c = 1$ в качестве $\psi_{cn}(z)$ удобно принять функции, обращающиеся в нуль вне подслоя $0 \leq z \leq d$ и равные внутри него

$$\psi_n(z) = \sqrt{2/d} \sin(\pi n z / d). \quad (19)$$

Здесь $n = 1, \dots, N_c, 2N_c$ — число атомных монослоев в субъединице. Удобно направить одну из осей координатной системы, например y , вдоль вектора \mathbf{K} . Тогда из (11) следует, что $V_{\alpha n \mathbf{K}' \beta n' \mathbf{K}''}(\mathbf{K}k) = 0$, а для $\alpha, \beta = y, z$ матричные элементы не обращаются в нуль, только если $\mathbf{K}' = \mathbf{K}'' = \mathbf{K}$; обозначим их как

$V_{\alpha n \mathbf{K}, \beta n' \mathbf{K}}(\mathbf{K}k) \equiv V_{\alpha\beta}(n n' | \mathbf{K}k)$. Расчет матричных элементов (11) сводится к вычислению выражения

$$V_{\alpha\beta}(n n' | \mathbf{K}k) = \frac{1}{2KD} \sum_{L=-\infty}^{\infty} e^{ikLD} \int_0^d dz \Psi_\alpha^{m*}(z, K) \times \int_0^d dz' e^{-K|z-z'-LD|} \Psi_\beta^n(z', K). \quad (20)$$

Здесь $K = |\mathbf{K}|$, L — целые числа, $\Psi_y^n(z, K) = iK\psi_n(z)$, $\Psi_z^n(z, K) = d\psi_n(z)/dz$. Вычисленные матричные элементы (20) приведены в Приложении 1.

„Стандартные“ потенциалы (16) в планарной геометрии записываются в блоховском виде

$$\psi_{\alpha n \mathbf{K}}(\mathbf{r} | \mathbf{q}) = S^{-1/2} \exp(i\mathbf{K}\rho) \exp(ikz) \times \frac{\bar{\varphi}_1}{\pi(\vartheta^2 + n^2)} U_\alpha^{(n)}(z | \mathbf{K}k). \quad (21)$$

Здесь $\vartheta = Kd/\pi$, $\bar{\varphi}_c = \frac{4\pi Z_c}{\varepsilon^\infty} \sqrt{2d_c/\Omega_a \mu_c}$, функции $U_\alpha^{(n)}(z | \mathbf{K}k)$ нами вычислены согласно (17) и приведены в Приложении 2.

Для расчета вклада короткодействующих сил (9) определим матрицу $\hat{\Delta}_c(Q)$ размерности 3×3 таким образом, чтобы ее собственные значения воспроизводили спектр оптических фононов в объемном бинарном материале $c = 1$ без учета полярной составляющей, т.е. так, как если бы они были неполярными. Такой спектр „неполярных“ фононов может быть получен с помощью данных микроскопической теории, соответствующая методика описана в [6]. Тогда матрица короткодействующих сил моделируется соотношением

$$\Phi_{\alpha\beta}^c(\mathbf{r}_n, \mathbf{r}_{n'}) = \frac{1}{N_0} \sum_Q \mu_c p_n \Delta_{\alpha\beta}^c(Q_x, Q_y, Q_z) p_{n'} \times \exp(i\mathbf{Q}(\mathbf{r}_n - \mathbf{r}_{n'})), \quad (22)$$

где \mathbf{Q} изменяется в зоне Бриллюэна объемного бинарного кристалла. В матричные элементы (9) входит величина

$$\int_0^d \exp(-ikz) \psi_n(z) dz = \sqrt{2d} \frac{\pi n (1 - (-1)^n e^{idk})}{((kd)^2 - (\pi n)^2)}. \quad (23)$$

При $k \rightarrow \pm\pi n/d$ вклад от (23) в матричный элемент (9) максимален и равен $i\sqrt{d}/2$. Удерживая в (9) только эти главные члены, получим

$$\Theta_{\alpha n \mathbf{K}, \alpha' n' \mathbf{K}'} \approx \delta_{\mathbf{K}\mathbf{K}'} \delta_{nn'} \times \left\{ \Delta_{\alpha\alpha'}^c \left(K_x, K_y, \frac{\pi n}{d} \right) + \Delta_{\alpha\alpha'}^c \left(K_x, K_y, -\frac{\pi n}{d} \right) \right\}. \quad (24)$$

В этом приближении зависимость от продольной компоненты волнового вектора k отсутствует.

6. Точное решение в модели диэлектрического континуума

При пренебрежении дисперсией короткодействующих сил матрица (24) принимает вид

$$\Theta_{\alpha n \mathbf{K}, \alpha' n' \mathbf{K}'}(\mathbf{K}k) = \bar{\omega}_c^2 \delta_{\mathbf{K} \mathbf{K}'} \delta_{nn'} \delta_{\alpha \alpha'}. \quad (25)$$

Здесь $\bar{\omega}_c^2$ — частота поперечного фонона в объемном материале из слоя c .

В континуальном пределе (8) представляет собой бесконечную систему уравнений, которая имеет точное решение. Детали решения сами по себе нетривиальны, расчет был проведен на языке Maple в оболочке Scientific Notebook и не может быть воспроизведен подробно в рамках журнальной статьи. Мы приведем лишь конечный результат.

Потенциалы представляются в блоховском виде

$$\varphi_{\mathbf{q}}^{(m)}(\mathbf{r}) = S^{-1/2} \exp(i\mathbf{K}\mathbf{r}) \exp(ikz) \phi^{(m)}(z|\mathbf{K}k), \quad (26)$$

$\phi^{(m)}(z + DL|\mathbf{K}k) = \psi^{(m)}(z|\mathbf{K}k)$, L — целые числа. Для фононов, оптические смещения которых $S_{\alpha n \mathbf{K}}^{(m)}(\mathbf{q})$ сосредоточены только в „активном“ слое $c = 1$ ($0 < z \leq d$), периодическая часть охватывает всю элементарную ячейку $0 \leq z \leq D$. Далее приведен вид периодической части потенциала $\phi^{(m)}(z|\mathbf{K}k)$ для таких фононов.

Решения представлены в виде $\phi^{(m)}(z|\mathbf{K}k) = \bar{\varphi}_1 [\hbar/(2\omega_{(m)}(\mathbf{K}k))]^{1/2} \chi^{(m)}(z|\mathbf{K}k)$. Введем обозначения $\eta = KD$, $\xi = kD$, $\sigma = Kd/2$,

$$U_{\mathbf{q}}^{(\pm)} = \sqrt{(1 \pm H_{\mathbf{q}}/\sqrt{H_{\mathbf{q}}^2 + B_{\mathbf{q}}^2})/2},$$

$$H_{\mathbf{q}} = \text{ch } 2\sigma - \frac{\text{sh } \eta \text{ sh } 2\sigma}{\text{ch } \eta - \cos \xi}, \quad B_{\mathbf{q}} = \frac{\sin \xi \text{ sh } 2\sigma}{\text{ch } \eta - \cos \xi}. \quad (27)$$

Функция $\Theta(z, d) = 1$, если $0 \leq z \leq d$, и $\Theta(z, d) = 0$ при всех других значениях z .

1) Для данного слоя имеются два решения $m = (\pm)$, зависящие от направления распространения фонона $\mathbf{q} = (\mathbf{K}k)$:

$$\omega_{(\pm)}^2(\mathbf{K}k) = \bar{\omega}_1^2 + \frac{2\pi Z_1^2}{\mu_1 \varepsilon^\infty \Omega_a} \left(1 \pm \sqrt{\frac{\text{ch}(\eta - 2\sigma) - \cos \xi}{\text{ch } \eta - \cos \xi}} \right), \quad (28)$$

$$\begin{aligned} \chi^{(\pm)}(z|\mathbf{K}k) &= \exp(-ikz) \frac{\sqrt{\text{sh } 2\sigma/(2\sigma)}}{2(\text{ch } \eta - \cos \xi)} \\ &\times \left\{ \left[U_{\mathbf{q}}^{(\pm)} \text{ch}(Kz - \eta - \sigma) \pm i \frac{k}{|k|} U_{\mathbf{q}}^{(\mp)} \text{sh}(Kz - \eta - \sigma) \right] \right. \\ &\left. - e^{i\xi} \left[U_{\mathbf{q}}^{(\pm)} \text{ch}(Kz - \sigma) \pm i \frac{k}{|k|} U_{\mathbf{q}}^{(\mp)} \text{sh}(Kz - \sigma) \right] \right\} \\ &+ \frac{1}{2} \exp(-ikz) \Theta(z, d) \text{sh}(Kz - 2\sigma) \\ &\times \left\{ U_{\mathbf{q}}^{(\pm)} (\sigma \text{ th } \sigma)^{-1/2} \mp i \frac{k}{|k|} U_{\mathbf{q}}^{(\mp)} (\text{th } \sigma/\sigma)^{-1/2} \right\}. \quad (29) \end{aligned}$$

Функции (29) с ростом K и k все более сильно локализируются вблизи межслоевой границы и представляют собой не что иное, как потенциалы колебаний интерфейса.

2) Дирекционно-независимым полярным решениям $\omega_{l(m)}^2 = \bar{\omega}_1^2 + 4\pi Z_1^2/(\mu_1 \varepsilon^\infty \Omega_a)$ с кратностью вырождения, равной бесконечности $m = 1, \dots, \infty$, соответствуют продольные оптические смещения ионов. Потенциалы, создаваемые этими колебаниями, не обращаются в нуль только в активном слое, в данном случае в слое $c = 1$, т. е. при $0 \leq z \leq d$, и там равны

$$\begin{aligned} \chi^{l(m)}(z|\mathbf{K}k) &= i\Theta(z, d) \\ &\times \exp(-ikz) \frac{4}{\sqrt{m^2 + \vartheta^2}} \sin(\pi m z/d). \quad (30) \end{aligned}$$

3) Дирекционно-независимым неполярным решениям $\omega_{t(m)}^2 = \bar{\omega}_1^2$ с кратностью вырождения, равной бесконечности $m = 1, \dots, \infty$, соответствуют поперечные оптические смещения ионов. Эти колебания не создают электрических полей.

Для фононов, смещения которых сосредоточены во втором слое $c = 2$ ($d < z \leq D$), решения имеют аналогичный вид. Их можно получить из (28)–(30) путем переноса начала координат $z' \rightarrow z - d$ с последующей заменой $d \rightarrow D - d$ и подстановкой объемных параметров фононного спектра для этого слоя $\bar{\omega}_2^2, \xi_2, \mu_2$.

Вычисленные поля (28)–(30) и смещения, приведенные в Приложении 3, полностью согласуются с картиной интерфейсных колебаний и их потенциалов (29) и объемно-подобных запертых колебаний и их полей (30), которые получены численно в континуальной модели в работах [1–4]. Заметим, что в аналитическом виде решения в континуальной модели, насколько нам известно, ранее не были получены. Анализ полученных решений показывает, что потенциалы (29) ведут себя неаналитическим образом при $\mathbf{q} \rightarrow 0$. Если в этом длинноволновом пределе $k \gg K$, то (29) — это поля макроскопического масштаба, охватывающие всю сверхрешетку. Если $k \ll K$, это локальные поля с периодом сверхрешетки. В предельном случае $d \rightarrow D \rightarrow \infty$ соотношения (28)–(30) переходят в известное выражение [9] для потенциалов рассеяния на длинноволновых полярных фононах в объемном материале кубической симметрии. Потенциалы (29), (30) непрерывны на границе слоев. Однако оптические смещения, как показывает расчет по формуле (5), для четных значений m оказываются разрывными, что соответствует выводам [2] о несовместимости граничных условий для механической и электродинамической компонент оптических колебаний в бездисперсионной континуальной модели. Для того, чтобы добиться одновременной непрерывности полей и смещений, необходим учет дисперсии короткодействующих сил [2,3].

7. Модель диэлектрического континуума, модифицированная учетом дисперсии короткодействующих сил

Для расчета спектра с учетом симметрии кристалла моделируем матрицу $\tilde{\Delta}^c(\mathbf{Q})$ в (22) соотношениями

$$\begin{aligned}\Delta_{xx}^c(\mathbf{Q}) &= \bar{\omega}_c^2(1 + A(k)k_x^2 + B(k)(k_y^2 + k_z^2)), \\ \Delta_{yy}^c(\mathbf{Q}) &= \bar{\omega}_c^2(1 + A(k)k_y^2 + B(k)(k_x^2 + k_z^2)), \\ \Delta_{zz}^c(\mathbf{Q}) &= \bar{\omega}_c^2(1 + B(k)(k_x^2 + k_y^2) + A(k)k_z^2), \\ \Delta_{\alpha\beta}^c(\mathbf{Q}) &= 2\bar{\omega}_c^2 G(k)k_\alpha k_\beta, \quad \alpha \neq \beta.\end{aligned}\quad (31)$$

$A(k) = X_1 + X_2k^2 + X_3k^4$, $B(k) = X_4 + X_5k^2 + X_6k^4$, $G(k) = X_7 + X_8k^2 + X_9k^4$, где $\mathbf{k} = \mathbf{Q}a_c/2\pi$, a_c — постоянная решетки материала c . Поскольку в слое c имеется $3N_c$ степеней свободы оптических колебаний, размерность матрицы в (8) следует ограничить величиной $3N_c \times 3N_c$. Параметры объемного спектра в AlAs и GaAs выбраны путем сопоставления с рассчитанным в модели зарядов на связи спектром [6,7] ($Z_1 = Z_2 = 0.65\sqrt{\varepsilon^\infty}e_0$, $\varepsilon^\infty = 12$, $a_1 = a_2 = 5.65 \text{ \AA}$, $M_{\text{Al}} = 26.98 M_p$, $M_{\text{Ga}} = 69.72 M_p$, $M_{\text{As}} = 74.92 M_p$) и приведены в таблице.

Выбор базисных функций в виде (19) означает, что короткодействующие силы взаимодействия подслоев $(\text{AlAs})_n$ и $(\text{GaAs})_m$ не учитываются. Согласие с микроскопическим расчетом улучшается, если феноменологически учесть взаимодействие субъячеек путем введения в формулы Приложения 2 эффективной толщины „активного“ слоя $d_{\text{eff}} = d + \delta$. Для сверхрешетки $(\text{AlAs})_n(\text{GaAs})_m [001]$ в пределах $n + m = 20$ для всех соотношений n, m равная степень согласия с численным расчетом достигается, если принять δ равной толщине одного монослоя.

На рис. 1 приведен спектр AlAs-подобных оптических фононов в сверхрешетке $(\text{AlAs})_8(\text{GaAs})_{12} [001]$ ($D = 56.5 \text{ \AA}$, $d_{\text{eff}} = 37.67 \text{ \AA}$), рассчитанный в микроскопической модели зарядов на связи (слева) и в макроскопической модели (8), (24), (31) (справа).

Как видно из этого рисунка, согласие в существенной для процессов рассеяния носителей заряда области $|\mathbf{q}| \leq 2\pi/D$ весьма неплохое. Отклонения вблизи границы зоны Бриллюэна $|\mathbf{q}| \sim 2\pi/a$ более значительны и носят качественный характер, что неудивительно, поскольку формулы (31) правильно учитывают симметрию спектра объемных фононов только в пределе длинных волн.

При наличии дисперсии короткодействующих сил объемно-подобные моды (30) и моды интерфейса (29) смешиваются. В результате гибридизации непрерывными теперь являются как потенциалы, так и оптические смещения.

Полученные выводы иллюстрируются рис. 2, 3 на примере AlAs-подобных фононов в структуре

Параметры матрицы короткодействующих сил $\tilde{\Delta}$ в объемных материалах

Параметр	AlAs	GaAs
$\bar{\omega}$, cm^{-1}	364.39	271.36
X_1	-0.5637	-0.5441
X_2	0.2689	0.2110
X_3	-0.0256	-0.0097
X_4	-0.8293	-0.5771
X_5	0.7346	0.5385
X_6	-0.2001	-0.1535
X_7	-0.1514	-0.1672
X_8	0.1785	0.0369
X_9	-0.0518	0.0199

$(\text{AlAs})_8(\text{GaAs})_{12} [001]$. Потенциалы вычислены по формулам (16), (21) (см. также формулы в Приложении 2). Сплошными линиями показаны локальные компоненты потенциалов

$$\begin{aligned}\phi_{\text{loc}}^{(m)}(z|\mathbf{Kk}) &= \phi^{(m)}(z|\mathbf{Kk}) - \bar{\phi}^{(m)}(\mathbf{Kk}), \\ \bar{\phi}^{(m)}(\mathbf{Kk}) &= D^{-1} \int_0^D \phi^{(m)}(z|\mathbf{Kk}) dz.\end{aligned}\quad (32)$$

Для фононов типа Γ_{3L} существует также макроскопическая компонента потенциала $\phi_{\text{макр}}^{(m)}(z, k) = izk\bar{\phi}^{(m)}(0k)$, показанная на рис. 2 штрихпунктиром. Приведенные на рис. 2, 3 результаты являются типичными. Как видно, степень согласия между двумя теориями достаточно хорошая. Причины количественного расхождения связаны с тем, что в микроскопической модели заряда на связи эффективно учитывается высокочастотная поляризуемость среды, в то время как в макротории мы ограничились приближением жесткого иона.

Согласие между микроскопическим расчетом и нашим вариантом континуальной теории для сверхрешеток $(\text{AlAs})_n(\text{GaAs})_m [001]$ в пределах $n + m = 20$ для всех соотношений n, m , как четных, так и нечетных, находится на одинаковом уровне вплоть до $(\text{AlAs})_2(\text{GaAs})_{18} [001]$.

8. Заключение

Численный анализ в рамках реалистической модели межатомного взаимодействия показал, что пространственное распределение для амплитуд потенциалов взаимодействия электронов с оптическими фононами в сверхрешетке существенно отличается от предсказываемого в простой макроскопической теории бездисперсионного диэлектрического континуума [1–3]. Физическая причина расхождений связана с тем, что в простой макротории принимается во внимание только дальнедействующая составляющая межатомных сил. Макроскопическая теория в развиваемом нами модифицированном подходе приводится в соответствие с численным

расчетом только при дисперсии короткодействующей части межатомного взаимодействия.

Преимущество предложенной нами модифицированной макроскопической модели по сравнению с нашим же численным микрорасчетом состоит в том, что потенциалы электрон-фононного взаимодействия получены в аналитическом виде, более удобном для расчета вероятностей рассеяния, что соответственно упрощает исследование процессов переноса.

Следует отметить, что обнаруженные особенности поведения потенциалов должны оказаться существенными при учете рассеяния электронов между мини-зонами. Для процессов рассеяния внутри мини-зоны отличия от теории бездисперсионного континуума решающего значения не имеют, поскольку матричные элементы от потенциалов типа Γ_3 не вносят вклада из-за симметрии, а значения потенциалов типа Γ_1 на гетерогранице, как видно из рис. 2, невелики. Тем не менее наличие аналитических выражений для потенциалов электрон-фононного взаимодействия должно способствовать заметному сокращению объема вычислений и в этом случае.

Приложение 1. Матрица $V_{\alpha\alpha'jj'}(\mathbf{K}k)$ в планарной геометрии

Приведены только не обращающиеся в нуль внутри-слоевые матричные элементы для $c = 1$.

$$V_{\alpha\alpha m\mathbf{K}',\beta\alpha n\mathbf{K}''}(\mathbf{q}) = V_{\alpha\beta}(mn|\mathbf{K}k)\delta_{\mathbf{K}\mathbf{K}'}\delta_{\mathbf{K}\mathbf{K}''},$$

$$V_{yy}(mn|\mathbf{K}k) = f_{mn}^{\mathbf{K}}(s_{mn}t_m^{\mathbf{K}}R_q^m - ia_{mn}B_q) + \delta_{mn}\vartheta^2/(\vartheta^2 + m^2),$$

$$V_{zz}(mn|\mathbf{K}k) = f_{mn}^{\mathbf{K}}(-s_{mn}t_m^{\mathbf{K}}R_q^m + ia_{mn}B_q) + \delta_{mn}m^2/(\vartheta^2 + m^2),$$

$$V_{yz}(mn|\mathbf{K}k) = -f_{mn}^{\mathbf{K}}(s_{mn}t_m^{\mathbf{K}}B_q + ia_{mn}R_q^m) - (1 - \delta_{mn}) \times 4imn\vartheta^2a_{mn} / [\pi(\vartheta^2 + m^2)|m^2 - n^2|].$$

Здесь $V_{\alpha\beta}(mn|\mathbf{K}k) = V_{\beta\alpha}(mn|\mathbf{K}k)$. Помимо ранее введенных приняты обозначения

$$f_{mn}^{\mathbf{K}} = 2mn\vartheta / [\pi(\vartheta^2 + m^2)(\vartheta^2 + n^2)],$$

$$t_m^{\mathbf{K}} = (\text{ch } 2\sigma - (-1)^m) / \text{sh } 2\sigma,$$

$$s_{mn} = ((-1)^m + (-1)^n) / 2, \quad R_q^m = H_q + (-1)^m,$$

$$a_{mn} = ((-1)^m - (-1)^n) / 2.$$

Эрмитовость матрицы $V_{\alpha\beta}(mn|\mathbf{K}k)$ может быть проверена непосредственным вычислением.

Приложение 2. Собственные потенциалы фононов в планарной геометрии

Для расчета использованы формулы Приложения 4. При заданном выборе осей $U_x^{(n)}(z|\mathbf{K}k) = 0$,

$$U_y^{(n)}(z|\mathbf{K}k) = -i \frac{nS_n(\sigma)}{2(\text{ch } \eta - \cos \xi)} \times (C_n(Kz - \sigma - \eta) - e^{i\xi}C_n(Kz - \sigma)) + i\Theta(z, d)\{(-1)^n n \text{sh}(Kz - 2\sigma) - \vartheta \sin(\pi n z / d)\},$$

$$U_z^{(n)}(z|\mathbf{K}k) = \frac{nS_n(\sigma)}{2(\text{ch } \eta - \cos \xi)} \times (S_n(Kz - \sigma - \eta) - e^{i\xi}S_n(Kz - \sigma)) - \Theta(z, d)\{(-1)^n n \text{ch}(Kz - 2\sigma) + n \cos(\pi n z / d)\}.$$

Здесь $S_n(x) = (e^x - (-1)^n e^{-x})/2$, $C_n(x) = (e^x + (-1)^n e^{-x})/2$.

Приложение 3. Решение уравнения (8) в модели бездисперсионного диэлектрического континуума

Для расчета использованы формулы Приложения 4. Приведены собственные векторы $S_{\alpha m\mathbf{K}'}^{(m)}(\mathbf{q}) = S_{\alpha}^{(m)}(n|\mathbf{K}k)\delta_{\mathbf{K}\mathbf{K}'}$.

Дирекционно-зависимым частотам (28) соответствуют $S_{\alpha}^{(\pm)}(n|\mathbf{q}) = 2nr_{\alpha}^{(\pm)}(n|\mathbf{K}k)\sqrt{\vartheta t_n^{\mathbf{K}}/\pi} / (\vartheta^2 + n^2)$.

Величины $r_{\alpha}^{(\pm)}(n|\mathbf{K}k)$ для четных и нечетных n различны: $r_y^{(\pm)}(2m|\mathbf{q}) = iU_q^{(\pm)}$, $r_z^{(\pm)}(2m|\mathbf{q}) = \mp i \frac{k}{|k|} U_q^{\pm}$, $r_y^{(\pm)}(2m+1|\mathbf{q}) = \mp \frac{k}{|k|} U_q^{\pm}$, $r_z^{(\pm)}(2m+1|\mathbf{q}) = -U_q^{(\pm)}$. Для выбранного направления осей $r_x^{(\pm)}(n|\mathbf{K}k) = 0$.

Дирекционно-независимым полярным решениям $\omega_{l(m)}^2$ соответствуют собственные векторы

$$S_y^{(m)}(n|\mathbf{K}k) = \delta_{mn}\vartheta / \sqrt{m^2 + \vartheta^2},$$

$$S_z^{(m)}(n|\mathbf{K}k) = (1 - \delta_{mn})4imn a_{mn} / [(m^2 - n^2)\sqrt{m^2 + \vartheta^2}].$$

Неполярным решениям $\omega_{t(m)}^2$ соответствуют собственные векторы

$$S_y^{(m)}(n|\mathbf{K}k) = -(1 - \delta_{mn})4imn a_{mn} / [(m^2 - n^2)\sqrt{m^2 + \vartheta^2}],$$

$$S_z^{(m)}(n|\mathbf{K}k) = \delta_{mn}\vartheta / \sqrt{m^2 + \vartheta^2}.$$

Приложение 4. Некоторые соотношения, использованные при расчете

$$\sum_{n=1}^{\infty} (2n)^2 / (\vartheta^2 + (2n)^2)^2 = \pi (2 \operatorname{cth}(\pi\vartheta/2) + \pi\vartheta - \pi\vartheta \operatorname{cth}^2(\pi\vartheta/2)) / 16\vartheta,$$

$$\sum_{n=0}^{\infty} (2n+1)^2 / (\vartheta^2 + (2n+1)^2)^2 = \pi (2 \operatorname{th}(\pi\vartheta/2) + \pi\vartheta - \pi\vartheta \operatorname{th}^2(\pi\vartheta/2)) / 16\vartheta,$$

$$\sum_{n=0}^{\infty} (2n+1)^2 / \left[((2n+1)^2 - (2m)^2)(\vartheta^2 + (2n+1)^2) \right] = \pi\vartheta \operatorname{th}(\pi\vartheta/2) / 4(\vartheta^2 + (2m)^2),$$

$$\sum_{n=1}^{\infty} (2n)^2 / \left[((2n)^2 - (2m+1)^2)(\vartheta^2 + (2n)^2) \right] = \pi\vartheta \operatorname{cth}(\pi\vartheta/2) / 4(\vartheta^2 + (2m+1)^2),$$

$$\sum_{n=0}^{\infty} (2n+1)^2 / \left[((2n+1)^2 - (2m)^2) \times ((2n+1)^2 - (2k)^2) \right] = \delta_{mk} \pi^2 / 16,$$

$$\sum_{n=1}^{\infty} (2n)^2 / \left[((2n)^2 - (2m)^2) \times ((2n)^2 - (2k+1)^2) \right] = \delta_{mk} \pi^2 / 16,$$

При $0 \leq z \leq d$ справедливы соотношения

$$\sum_{n=1}^{\infty} n \sin(2\pi n z / d) / ((2n)^2 + \vartheta^2) = \pi \operatorname{sh}(\pi\vartheta(d-2z)/2d) / 8 \operatorname{sh}(\pi\vartheta/2),$$

$$\sum_{n=0}^{\infty} (2n+1) \sin(\pi(2n+1)z/d) / ((2n+1)^2 + \vartheta^2) = \pi \operatorname{ch}(\pi\vartheta(d-2z)/2d) / 4 \operatorname{ch}(\pi\vartheta/2).$$

Список литературы

- [1] K. Huang, B. Zhu. Phys. Rev. B **38**, 18, 13377 (1988); G. Weber. Phys. Rev. B **46**, 24, 16171 (1992).
- [2] K.J. Nash. Phys. Rev. B **46**, 12, 7723 (1992); M.P. Chamberlain, M. Cardona, B.K. Ridley. Phys. Rev. B **48**, 19, 14356 (1993).

- [3] F. Comas, C. Trallero-Giner. Physica B **192**, 394 (1993); C. Trallero-Giner, F. Comas, G. Garcia-Moliner. Phys. Rev. B **50**, 3, 1755 (1994); B.K. Ridley, O. Al-Dossary, N.C. Constantinou, M. Babiker. Phys. Rev. B **50**, 16, 11701 (1994).
- [4] H. Rucker, E. Molinari, P. Lugli. Phys. Rev. B **44**, 7, 3463 (1991).
- [5] G.J. Warren, P.N. Butcher. Semicond. Sci. Technol. **1**, 2, 133 (1986); I. Dharssi, P.N. Butcher. J. Phys.: Cond. Matter **2**, 119 (1990); F. Comas, F. Castro, J.L. Gondar. Physica B **239**, 3-4, 370 (1997); V.G. Litovchenko, D.V. Korbutyak, S. Krylyuk, H.T. Grahn, K.H. Ploog. Phys. Rev. B **55**, 10621 (1997); J. Pozela, A. Namajunas, K. Pozela, V. Juciene. Physica E **5**, 1-2, 108 (1999); С.И. Борисенко. ФТП **38**, 2, 207 (2004).
- [6] V.G. Tyuterev. J. Phys.: Cond. Matter **11**, 9, 2153 (1999).
- [7] K.C. Rustagi, W. Weber. Solid State Commun. **18**, 6, 673 (1976); G. Kannelis. Phys. Rev. B **35**, 2, 746 (1987); E. Richter, D. Strauch. Solid State Commun. **64**, 867 (1987).
- [8] B.A. Foreman. Phys. Rev. B **52**, 16, 12260 (1995).
- [9] Г.Л. Бир, Г.Е. Пикус. Симметрия и деформационные эффекты в полупроводниках. Наука, М. (1972).